

# 水力發电厂

## 壓力水管的水力計算

苏联 B. H. 波波夫著

电力工业出版社

# 水力發電厂

## 壓力水管的水力計算

苏联 B.H.波波夫著

申 震 亞譯

電力工業出版社

## 內 容 提 要

本書根據紊流理論的半經驗公式叙述水力發電廠輸水管的水力計算，並對應用於輸水管計算的近代紊流理論的成果作了總結。

本書供從事水工建築物的設計與施工的工程師及相應專業的科學工作者之用。

В. Н. ПОПОВ

ГИДРАВЛИЧЕСКИЙ РАСЧЕТ НАПОРНЫХ  
ТРУБОПРОВОДОВ ГИДРОСТАНЦИЙ

根据苏联國立动力出版社1950年列寧格勒版翻譯

## 水力發電廠壓力水管的水力計算

申 震 亞譯

\*

375851

電力工業出版社出版(北京府右街26號)  
北京市書刊出版業貿易局可證出字第092號

北京市印刷一廠排印 新華書店發行

\*

編輯：司志民 校對：凌華嬪

850×1092 $\frac{1}{16}$ 開本 \* 3 $\frac{1}{2}$ 印張 \* 85千字

1956年7月北京第1版

1956年7月北京第1次印刷(1—5,100冊)

定价(第10類)0.90元

# 目 錄

緒 言 .....	3
第一章 管中液体等速流的物理特性 .....	9
第二章 級流理論 .....	14
§ 1 理論的基本假定 .....	14
§ 2 非完全湍流時管內的水力阻力 .....	17
§ 3 完全湍流時管中的水力阻力 .....	21
§ 4 非完全湍流与完全湍流間水力阻力的過渡区域 .....	22
第三章 實驗的研究和材料 .....	25
§ 5 各種實驗材料整銜的結果 .....	25
§ 6 人工均勻糙率管子的實驗 .....	26
§ 7 關於大直徑的鉛接管，焊接管和混凝土管的實驗 .....	29
§ 8 糙率不均勻並具有脈動水流的工業用管的實驗 .....	30
§ 9 A. П. 齊日達教授的實驗 .....	35
§ 10 Г. А. 莫林工程师的實驗(ВТИ) .....	41
§ 11 根據 P. C. 伏列途的材料所作的實驗 .....	44
§ 12 關於半理論公式的結論和對它們的研究 .....	46
第四章 經驗公式 .....	49
§ 13 $\lambda = \lambda_0 + \frac{\beta}{Re^x}$ 形式的公式 .....	52
§ 14 指數公式 .....	53
§ 15 $v = kR^p I^q$ 形式的公式 .....	56
§ 16 多項式公式 .....	64
§ 17 關於經驗公式的評論的結論 .....	66
第五章 B. H. 耶甫列亦諾夫公式和 B. H. 耶甫列亦諾夫 —B. H. 波波夫公式 .....	67

§ 18 管中液体的螺旋流 .....	67
§ 19 B.H. 耶甫列亦諾夫教授的公式 .....	72
§ 20 B.H. 波波夫關於 B.H. 耶甫列亦諾夫教授的理論和公式 的补充 .....	75
<b>第六章 根據半經驗公式輸水管水力計算的圖解分析法 .....</b>	<b>82</b>
§ 21 所用的公式及圖表系統 .....	82
§ 22 通用圖表 .....	84
§ 23 $Re$ 和 $\lambda$ 圖表 .....	86
§ 24 水頭損失的諾謨圖 .....	88
<b>第七章 用於水電廠輸水管計算的諾謨圖 .....</b>	<b>96</b>
§ 25 焊接鋼管 .....	97
§ 26 鋼接鋼管 .....	99
§ 27 混凝土管，鋼筋混凝土管和水泥管 .....	102
§ 28 石砌管 .....	104
§ 29 木管 .....	104
<b>第八章 旧輸水管的計算 .....</b>	<b>105</b>
§ 30 旧輸水管的一般性質 .....	105
§ 31 管中的沉淀对管的过水能力的影响 .....	106
§ 32 管中沉淀对水力坡度的影响 .....	107
§ 33 旧管中所观察的水头损失 .....	109
§ 34 旧管的計算方法 .....	111
<b>中俄名詞对照表 .....</b>	<b>113</b>
<b>人名表 .....</b>	<b>114</b>

## 緒 言

關於解決管子的水力計算問題，在科学、技术与工业發展的不同阶段，以不同的方法進行。在远古及古代，水力学問題实际上是以手工業的方法和知識來解决的。中世紀一般說來沒有促進科学与技术的發展。僅僅在文藝复兴时代科学觀念才开始提高，水流运动的复雜現象才引起了学者的注意。

在十七世紀，牛頓建立了流动液層的規律性：

$$\tau = \mu \frac{du}{dy} ,$$

式中  $\tau$ ——由於液体的运动所產生的阻力切应力；

$\mu$ ——比例系数，称作粘滞系数；

$\frac{du}{dy}$ ——流速梯度。

十八世紀的特征是工业的蓬勃發展，而伴随着它也帶來了科学与技术的繁榮。所謂技术水力学的水力学問題，向两个方向發展——理論的方向和实用的方向。在 1775 年，哲瑟提出了一个任意河道中的液体运动方程式为：

$$v = C V \sqrt{RI} ,$$

式中  $v$ ——平均流速；

$R = \frac{\omega}{p}$ ——水力半徑；

$I$ ——水力坡度；

$C$ ——比例系数。

在十九世紀，对系数  $C$  作了詳細的研究。在液体运动的性質中已經区分了層流和紊流。建立了  $C$  随液体的性質，温度，流

态，和液体在其中运动的河床的种类而变的关系式。在1883年，雷諾决定了液体等速流的相似准则，其形式为纯数  $Re = \frac{vd}{\nu}$ 。

理论的与实验的研究力求深入水流的内部，深入它的结构，以便根据这些来确定各种条件下液体运动的规律。出现了很多理论的以及实验的公式和建议。产生了新的科学——流体力学，它愈来愈深入液体运动的研究（在很多问题上与气体力学结合在一起）。

二十世纪初，积累了如此大量的理论与实验的材料，已经需要把它们系统化并除去其中陈旧的材料。同时也需要对于液体运动这一科学领域过去的各个阶段作出总结。

П. Ф. 高尔巴切夫的报告——“水力学计算表”(1933)和“液体运动的速度公式”(1936)就属于这些著作。

П. Ф. 高尔巴切夫教授研究了水流运动与下列因素的关系：1) 内摩擦力，2) 河床的摩擦，3) 水流横断面上流速的分布。根据这些情况，他对  $C$  值提供了这样的[理论的]式子，称之为范式(гидроид)：

$$C = \frac{X}{\sqrt{1 + \frac{Y}{R} + \frac{Z}{VR}}}$$

和

$$C = \frac{a}{\sqrt{e + \frac{b}{t + \frac{\nu}{R}} \cdot k}},$$

式中  $X$  和  $a$  与液体的物理力学性质有关； $Y$ ,  $Z$  和  $b$  ——与管壁性质及断面流速分布有关； $k$  表示坡度的影响； $e$  和  $t$  ——纯数； $R$  ——水力半径。

如所可知，系数  $C$  也可用  $\lambda$  表示， $\lambda$  为水力阻力系数( $\lambda = 4f$ )，

其中 $f$ ——液体与管壁或河床間的摩擦系数):

$$C = \sqrt{\frac{8g}{\lambda}} \text{ 或 } \lambda = \frac{8g}{C^2}.$$

$f$  以及  $\lambda$  和  $C$  的大小表示着切应力  $\tau$  的数值, 某些学者將后者規定为液体黏滯性所產生的应力及其紊流程度的总和①, 即

$$\tau = \mu \frac{du}{dy} + \rho l^2 \left( \frac{du}{dy} \right)^2,$$

式中  $\rho$ ——密度;  $l$ ——紊流混合路徑的長度。

對於  $\lambda$ , M.A. 維里克諾夫② 引出下列公式:

$$\lambda = \alpha + \frac{\beta}{Re},$$

式中  $\alpha$ ——决定水流的紊流程度的一項, 而  $\frac{\beta}{Re}$  表示粘滯力佔优势的水流运动条件。

由此, 可寫  $C$  的公式为:

$$C = \frac{\sqrt{\frac{8g}{\alpha + \frac{\beta}{Re}}}}{V}.$$

由於原子理論和流体物理学的發展, П.Ф. 高爾巴切夫教授在1936年指出了根据对以下問題的研究來建立水力学計算公式的可能性的思想, 这些問題是: 运动着的液体的分子的性質及其与固体壁間的相互关系。П.Ф.高爾巴切夫教授正式的得到了一种他早先發表了的經驗公式的自己的形式, 但是他所作的假設在公式的正确性上引起了很大的疑問, 因而П.Ф.高爾巴切夫教授的这一公式的結論沒有得到進一步的發展。

指出流体物理学領域內的一些著作是必要的, 这些著作力求揭露在液体內發生的現象的本質, 例如, З.Н. 富蘭克尔教授的

① B.A.巴哈米捷也夫, 紊流力学, 國立建筑出版社, 1939年。

② 河床水流动力学, 水文气象出版社, 1946年, 170頁。

“液体的运动理論”。但是这些成果还不能实际应用於輸水管的計算。

很多研究者認為水流的紊流結構具有很大的意義。考慮水流結構的例子有：我國的B.H.耶甫列亦諾夫教授關於水流的螺旋結構的理論。根據B.H.耶甫列亦諾夫教授的理論，水力阻力系數 $\lambda$ 為兩部分所組成，即 $\lambda = \lambda' + \lambda''$ 。

第一項 $\lambda'$  =  $\frac{A}{Re_k}$  与  $\frac{\beta}{Re}$  相似，而第二項 $\lambda''$  是流速分佈(在 $\lambda''$  中引入了卡爾諾里斯數)，相對光滑度，管壁的適宜流动性以及由於在管壁處形成的渦漩而產生的能量損失的函數。B.H.耶甫列亦諾夫教授的公式，加上作者所作的補充之後是可以應用於各種水流及各種不同的運動條件的。

B.H.耶甫列亦諾夫—B.H.波波夫公式——該公式對所有區域都是一樣的——以下僅用於均勻的同一種類的糙率的管子(以水泥抹面的管子)，因為還沒有關於其他材料管子的實驗材料。

在近幾年(1945—1949)的著作❶中，水管的水力計算，在很多情形下，即當管壁具有均勻的顆粒或與它相接近的糙率時，都是以半理論公式作為基礎的。這些公式包含有雷諾數，相對等價糙率和純數的實驗系數。

在本書中介紹了水電廠壓力水管在紊流狀態下的水力計算方法，這些方法是屬於形式為  $\lambda = f\left(\frac{r}{k}, Re\right)$  的半理論公式的系統

❶ A.A.薩巴涅也夫，關於哲瑟系數的實驗公式的應用範圍，ВНИИГ 通報，卷39，1947。

A.A.薩巴涅也夫，哲瑟系數的通用公式，ВНИИГ 通報，卷39，1947。

B.H.耶甫列亦諾夫，水力學，河流出版社，1947。

B.Г.盧巴也夫教授：輸水管網及渠道網的水力計算圖表，公用事業出版社，Хоз-ва，1948。

Г.А.莫林，鋼管的水力阻力，ВТИ 通報，1949。

Р.С.伏列述，輸水管的水力計算，國家技術出版社，1949。

的，这种公式具有某些理論基礎並已為實驗所証實。

為了決定這些公式中的參數值，只要可能，都將利用直接的實驗材料，而對於沒有這些實驗材料的輸水管，則在其正確性的範圍內和與水動力學相似理論相符合的範圍內利用經驗公式。

紊流時液體運動的阻力在三個基本規律性中被研究着：光滑管區域，過渡區域及粗糙管區域。

過渡區域為一連結光滑管區域與粗糙管區域的光滑的曲線。

由於半理論公式的數學表示式的複雜性，所以為了實用，提供了一個建立相應諾謨圖的圖解分析法。

在選擇水管的尺寸和管壁材料時，除了以前發表的著作外，也利用了近代的著作①。

對於水電廠壓力輸水管的水力計算，被研究的管子是最常應用的管子——鉚接鋼管，焊接鋼管，混凝土管，鋼筋混凝土管，磚管，在岩石中鑿成的管道和木管。

為了滿足不僅是小的，同時也包括巨型的水電廠的需要，輸水管直徑採用0.5到10.0公尺的範圍。

對於舊輸水管的計算，在自來水管的實踐中，各個作者所作的建議基本上都是根據相對糙率尺寸的變化。但是管子陳舊條件的多樣性使得所有這些建議都與局部的，特殊的條件有關。這種情況A.H.布德尼柯夫在他的研究中特別清楚的指出了。在那裡，他建議在計算舊管以前，對它進行技術的和水力學的實驗以確定等價糙率。

大直徑的電廠輸水管中的污垢對水力阻力的影響較小並可以用這樣的方法計算，這種方法是用於舊管分開工作的狀態的。根據這種方法，需要合理的使用輸水管，即按時的清洗管子，這對於大直徑的輸水管來說是沒有困難的。

① Ф.Ф.古賓，水電廠圖解，國立動力出版社，1946。

A.A.莫洛佐夫，水能利用，國立動力出版社，1948。

在所採用的水電厂压力水管的水力計算的解法的基礎上，後面將對近代的關於選擇公式的參數值的理論觀點和實驗材料作些非常簡要的基本敘述。

用於水力計算的諾謨圖給出了關於某種類型的管子的例子。用於所有類型的管子和它們的管壁的不同情況的諾謨圖，可以按其需要，利用本書中所建議的方法作成。

# 第一章 管中液体等速流的物理特性

近代的研究和實驗認為管中液体运动的形式是这样的：当液体速度很小或当管徑很小时，或者說当相似准则 $Re = \frac{vD}{\nu}$ 中的雷諾数 $Re$ 很小时，液体質点的运动將与管壁平行，形成与管壁成同心圓的液層。这样的运动称为平行流，或叫層流。

运动着的液層之間或液層与管壁之間存在着摩擦力。与管軸平行的液体摩擦切应力在水管橫断面上按直線比例分佈，管壁处切应力最大，而在管軸处为零。

水管橫断面上的流速是这样分佈的：水管中心的速度最大而在管壁处为零。断面中流速分佈曲綫成抛物綫形。每断面的平均流速 $v_{cp}$ 与其最大流速 $v_{max}$ 之間的关系为： $v_{max} = 2v_{cp}$ 。

管中液体的平行流的發生是由於粘滯力的影响。当雷諾数 $Re \leq Re_k = 2000$ 时，不論水流在管子進口处受到如何猛烈的擾動，即不論是不是紊流，但流經進口段相当距离之后，在促使水流穩定的粘滯力的影响下，終是要变为平行的。假若在水管進口处液体足够安定，並且液体進入水管时並不与進口断面的邊緣脫离，则在 $Re > 2000$ 时液体也还可能保持着平行流的。在雷諾(1883)的實驗中，預先將水盛入箱中使得到安定，並且將管子的進口作成光滑的漏斗形；在这种条件下，直至 $Re \leq Re'_k = 13\,000$ 时，平行流才遭破坏而过渡到紊流。

后来学者們的核实验証明：低臨界值 $Re = 2000$ 是一个分界的准则，低於該数值时水管中只能是穩定的平行流；但同时又指出：如果特別注意使水管進口前和進口处的水流安定，则其高

臨界值  $Re'$  可增为 25 000 或更大些，当达高臨界值时，水管中的液流將一定是稳定的紊流了。

这样，只有低臨界值  $Re_k=2000$  是一个天然的准则；在  $Re \leq Re_k$  时，管中液体只可能是稳定的層流。

由於上臨界值  $Re_k'$  的不确定性，所以不能准确地用数字指出这样的一个雷諾数，超出該值时，惰性力的擾动作用已經大於粘滯力的穩定作用因而只可能是稳定的等速紊流。

水流進入所觀察的管段的進口狀況對於層流轉入紊流的自然过渡（在  $Re=Re_k$  时）具有重大影响。進口段愈短，水流愈不安定，则这种过渡發生得愈早，愈剧烈而突然。進口水流很安定时，则層流向紊流过渡就不是突然的而將是很平穩的。顯然，在任何一种情况下，通常的管壁糙率对过渡的性質沒有重大的影响，因为在層流中以及層流續向紊流的过渡中，水头損失完全决定於  $Re$  数而与相对糙率無关。

B.H. 耶甫列亦諾夫教授根据臨界雷諾数的性質引出了这样的見解：随着管中液流速度的增加，水管断面上的流速分佈圖也跟着改变。在層流中，流速分佈曲綫為抛物綫形。管壁处的切应力  $\tau$  系由关系式  $\tau = \mu \frac{du}{dy}$  所决定。当在管壁处形成渦漩且使其离开管

壁進向流核时的臨界值  $\tau_{kp}$  相應於管壁处的某种流速  $u_* = v \frac{\sqrt{\lambda}}{\sqrt{8}}$ 。

此时層流遭到破坏，流速分佈的抛物綫規律發生变化，水流开始变为紊流。

为了解釋由層流突变为紊流的雷諾数范围，B.H. 耶甫列亦諾夫教授轉而考查公式  $v = C \sqrt{RI}$  中系数  $C$  研究的歷史。

最初，当人們用很小的流量進行實驗时，水流形式与層流近似，所得到的  $C$  值与过渡到紊流时的一点接近。这时認為  $C$  的平均值是 50。

根据公式  $\lambda = \frac{8g}{C^2}$  当  $C=50$  时,  $\lambda=0.032$ , 代入公式  $\lambda = \frac{64}{Re}$  中得雷諾数  $Re=2000$ , 該值是符合於大多数研究者的實驗結果—低臨界雷諾数  $Re_k'$  的。

對於雷諾数高臨界值, B.H. 耶甫列亦諾夫教授对管徑由 100 厘米到 500 厘米, 糙率  $k$  由 0.5—1.0 厘米的水管作了一个  $Re_k'$  的表。設  $k=0.5$  厘米, 則對於不同的  $\frac{r}{k}$  值將有以下的  $Re_k'$  :

$\frac{r}{k}$	100	150	200	250	300	400	500
$Re_k'$	7000	7335	7667	8000	8333	8667	9000

作者把  $\frac{r}{k}$  和  $Re_k'$  值画在对數座標紙上, 所有的点都位於一条直線上, 該直線在縱軸上的截距为  $\lg 3250$ , 对橫軸的傾斜度为 0.157。所以  $\frac{r}{k}$  和  $Re_k'$  的关系式为:

$$\lg Re_k' = \lg 3250 + 0.157 \lg \frac{r}{k}.$$

或

$$Re_k' = 3250 \left( \frac{r}{k} \right)^{0.157}.$$

表 1 为根据該公式对各种  $\frac{r}{k}$  所算出的  $Re_k'$  的值。其中还列有  $\lambda' = \frac{64}{Re_k'}$  之值。

管壁表面及其糙率对管中紊流的性質具有重大的影响。糙率分为下列几种基本形式: 齒狀(尖头的)的, 粒狀的和波浪形的; 每一种的分佈情况可能是均匀的或非均匀的。此外, 管壁上也可能形成隆起, 小粒和个别的斑点。

表 1

$\frac{r}{k}$	$Re'_\kappa$	$\lambda'$	$\frac{r}{k}$	$Re'_\kappa$	$\lambda'$
100	7 000	0.00915	11 000	15 300	0.00417
250	8 000	0.00800	12 000	15 600	0.00408
500	9 000	0.00713	13 000	15 800	0.00405
1000	10 300	0.00620	14 000	16 000	0.00400
2500	12 000	0.00533	15 000	16 200	0.00395
5000	13 400	0.00478	17 000	16 400	0.00390
7500	14 500	0.00441	19 000	16 700	0.00382
10 000	15 100	0.00423	20 000	16 800	0.00380

如下面將要看到的，每一种糙率形式對於管中液体的紊流都有其独特的影响。波浪形的糙率对管中液体流动的影响最为明顯。波浪形糙率的突出部分为液体成層而連續地繞过。其水头損失与  $Re$  的关系式和光滑管中相应的关系式相似。

当緊靠管壁的液層流經管壁上的隆起与小粒处时，通常不是連續而成層的繞过，这些隆起与小粒將破坏液体層而为液体的流动造成了某些特殊的条件。

管壁上糙率分佈的不均匀可能在水流中引起各种不同的現象。縱向糙率分佈的不均匀，其所產生的現象可能与在波浪形的糙率情况下所產生者相似。断面圓周上糙率不均匀，產生橫流与橫向环流，后者將導致液体的螺旋运动。在一般情况下，这兩者是可能同时發生的。

在紊流中应区别其邊層与流核。緊靠管壁的邊層是由層流的薄層与紊流的邊層所組成。理論上認為：以管徑的百分数所表示的層流邊層的厚度是随着雷諾数的增加而連續減少的。当層流向紊流过渡时，在普通的糙率情况下，層流邊層大大超过管壁糙率的突出高度；糙率的尖端淹没在層流邊層內部而为液体成層地而挨着的繞过。此时，与層流相似，糙率对水头損失不發生影响，

水头损失僅与  $Re$  数或黏滯力有关。

粗糙管中紊流的这种第一个区域通常称作水力光滑管流区域，或管中液体的光滑流区域。在这个区域中，對於液流結構起決定性影响的是液体的粘滯性；由於水管的糙率已淹沒在層流邊層的內部，所以实际上不發生任何影响；在粗糙管中光滑流的範圍內的水头損失僅与  $R_e$  值有关，正如在光滑管中一样。

当  $Re$  值更進一步增加时，層流邊層的厚度減小到低於糙率突起高度，層流邊層开始繞過糙率突起的尖端，脫離了它們的背面。这时，液体的粘滯性和管壁的糙率對於液流結構都發生影响。在这样的过渡区内(由光滑流到粗糙流)水头损失与  $R_e$  有关，也与相对糙率有关。

当  $R_e$  值甚大时，層流邊層的厚度变为小得不見了，糙率的尖端沒入於紊流流核中；液流結構僅僅决定於管壁糙率，这时摩擦水头损失將僅与相对糙率有关，而实际上不受  $Re$  值的影响，即不与液体的粘滯性有关。

液流結構及水头损失为管壁糙率所决定的这一紊流区域，通常称为粗糙管流区域，或管中液体的粗糙流区域。

前述的各种管中液体流动区域中，層流区域对电厂輸水管來說是沒有实际意义的。我們只是在作諾謨圖时用它作为水力光滑管流区域的边界。

水电厂輸水管中的液体流动是屬於紊流区域中的，这将在下面加以研究。

## 第二章 紊流理論

### § 1 理論的基本假定

这样的液流可以認為是紊流，在这种液流中連續的發生着液体質点的混合。

紊流的結構分为流核与邊層，后者又由紊流邊層与層流邊層所組成(見圖 1 及圖 2)。

为了确定如此复雜的水流的規律性，曾經作了一些假定。所有这些假定都是力求确定液体的脈動、液体的物理性質和液体質点的运动軌跡，而來查明液体質点动量交換的規律。

若以  $u'$  和  $v'$  表示平面  $xy$  上的脈動分速，則它們的形成就在液体介質中引起了切应力  $\tau_{xy}$ 。

在  $u'$ ,  $v'$  和  $\tau$  的关系上作了一些假定，並且其中的某些假定並未預先知道液体运动的任何模样。

關於渦漩所引起的动量交換的假定沒有實驗的研究，它導引出一些公式，其中某些关系沒有为實驗所確定。

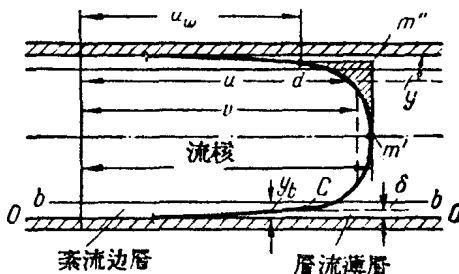


圖 1 關於紊流理論的示意圖

由於液体質点的混合所引起的动量交換成直線关系的这种假